

**TECHNICKÁ UNIVERZITA V LIBERCI**

**FAKULTA STROJNÍ**

Katedra sklářských a keramických strojů

**DIPLOMOVÁ PRÁCE**

# TECHNICKÁ UNIVERZITA V LIBERCI

## FAKULTA STROJNÍ

Studijní program 2301 T strojní inženýrství



Studijní obor: Konstrukce strojů a zařízení

Zaměření: Sklářské a keramické stroje

### Dávkování barvítka do čiré skloviny

KS K – 188 10

Petr KAULFUSS

Vedoucí diplomové práce: Ing. Jan Cibulka, CSc.

Konzultant diplomové práce: Ing. Zdeněk Waldhauser

Rozsah diplomové práce:

Počet stran:	42
Počet tabulek:	8
Počet obrázků:	23
Počet výkresů:	6
Počet příloh:	1
Počet modelů:	0

UNIVERZITNÍ KNIHOVNA  
TECHNICKÉ UNIVERZITY U LIBERCI



3146072797

Datum odevzdání: 28. 5. 2004



# TECHNICKÁ UNIVERZITA V LIBERCI

## Fakulta strojní

Katedra sklářských a keramických strojů

Studijní rok: 2003/2004

## ZADÁNÍ DIPLOMOVÉ PRÁCE

Jméno a příjmení **Petr Kauflfuss**

studijní program **M2301 a N2301 Strojní inženýrství**

obor **2302T010 Konstrukce strojů a zařízení**

zaměření **Sklářské a keramické stroje**

Ve smyslu zákona č. 111/1998 Sb. o vysokých školách se Vám určuje diplomová práce na téma:

### Dávkování barvítka do čiré skloviny

#### Zásady pro vypracování:

(uveďte hlavní cíle diplomové práce a doporučené metody pro vypracování)

Dávkování barvítka do čiré skloviny ve feedru tavicího agregátu je prováděno v Crystalexu a. s. sypáním barvitka do barvici zóny feedru s následným tavením barvitka a mícháním barvené skloviny. Otop feedru je plynový. Tento způsob barvení skloviny není z hlediska kvality produkce zcela vyhovující. Předpokládá se, že výsledkem řešení bude tavení barvitka již v dávkovací komoře a přechod na elektrický otop.

Úkolem Vaší DP bude:

1. Provést rozbor současného stavu barvení skloviny a formulaci technických požadavků na řešení.
2. Zpracovat alternativní návrh možností řešení nové dávkovací komory s výběrem optimální varianty.
3. Konstrukčně vyřešit zvolenou koncepci dávkovací komory pro objemový průtok barvitka 1 – 3 kg/hod při teplotě 1280 °C formou sestavných výkresů a podsestav hlavních uzelů.
4. Zhodnotit technickoekonomický přínos navrženého řešení.

Forma zpracování diplomové práce:

- průvodní zpráva      40 - 50 stran textu vč. výpočtu
- grafické práce      výkresová dokumentace dávkovací komory

Seznam literatury (uveďte doporučenou odbornou literaturu):

Firemní materiály Crystalex, a. s.

Vedoucí diplomové práce: Ing. Jan Cibulka, CSc.

Konzultant diplomové práce: Ing. Zdeněk Waldhauser , Crystalex, a. s. Nový Bor

L.S.

Doc. Ing. František Novotný, CSc.  
vedoucí katedry



Doc. Ing. Petr Louda, CSc.  
děkan

V Liberci dne 27. 10. 2003

Platnost zadání diplomové práce je 15 měsíců od výše uvedeného data. Termíny odevzdání diplomové práce jsou určeny pro každý studijní rok a jsou uvedeny v harmonogramu výuky.

## MÍSTOPŘÍSEŽNÉ PROHLÁŠENÍ

Místopřísežně prohlašuji, že jsem diplomovou práci vypracoval samostatně s použitím uvedené literatury.

V Liberci dne 28. 5. 2004

Petr Kaulfuess

Petr KAULFUSS

## **TÉMA: Dávkování barvítek do čiré skloviny**

### **ANOTACE:**

Diplomová práce se zabývá náhradou současného, nevyhovujícího způsobu dávkování barvítek novým způsobem, který spočívá v předtavení barvítka v tavicí komoře. Práce předkládá konstrukční řešení zařízení, v kterém dochází k natavení barvítka a následně k nadávkování barvítka do čiré skloviny .

## **THEME: Batching the colour frits into clear glass**

### **SUMMARY:**

The dissertation occupies with the replacement of current, inconvenient method of the colour frits batching with a new method, which is based on pre-melting of the colour frits in the melting chamber. The work presents a structural design of the device, in which the melting of the colour frits and subsequently the colour frits batching into clear glass is performed .

## **THEMA : Dosierung von "colour frits" in pure Glasmasse**

### **ZUSAMMENFASSUNG :**

Die Diplomarbeit beschäftigt sich mit dem Ersatz der gegenwärtigen, nicht geeigneten Methode der Dosierung von "colour frits" durch die neue Methode, die im Vorschmelzen von "colour frits" in der Schmelzkammer besteht. Die Arbeit legt die Konstruktionslösung der Anlage vor, in der zum "colour frits" - Zerschmelzen und folgend zur Dosierung von "colour frits" in pure Glasmasse kommt.

## **PODĚKOVÁNÍ**

Děkuji vedoucímu diplomové práce Ing. Janu Cibulkovi, CSc. z Katedry sklářských a keramických strojů, Technické univerzity v Liberci za odborné vedení.

Současně děkuji panu Ing. Zdeňku Waldhauserovi a Ing. Milanu Jakešovi za poskytnutý čas a cenné připomínky v průběhu řešení diplomové práce.

## OBSAH

Seznam použitých symbolů a značek	8
Úvod	10
<b>1. Rozbor současného stavu</b>	11
1.1. Proces barvení	11
1.2. Formulace technických požadavků	13
1.2.1. Feeder	13
1.2.2. Dávkovací zařízení	13
1.2.3. Barvitko	13
<b>2. Alternativní návrhy řešení</b>	14
2.1. Tavicí komora	14
2.1.1. Přímo vytápěná Pt – komora	14
2.1.2. Nepřímo vytápěná komora	15
2.1.3. Rozhodovací analýza pro tavící komoru	16
2.2. Výtok a regulace výtoku barvitka	17
2.2.1. Svodná tyč	17
2.2.2. Hradicí kámen	18
2.2.3. Rozhodovací analýza pro výtok barvitka	19
2.3. Volba tvaru výtokového otvoru	20
2.4. Výběr varianty pro konstrukční řešení	21
<b>3. Konstrukční řešení</b>	22
3.1. Přehled výkresové dokumentace	22
3.2. Popis dávkovacího zařízení	23
3.2.1. Tavicí komora	24
3.2.2. Topné moduly	24
3.2.3. Izolace	25
3.2.4. Přídavné zařízení	26
3.2.5. Hradicí kámen	27
3.2.6. Termočlánek	27
3.2.7. Hladinoměr	28
3.2.8. Proces barvení	28
3.3. Výpočet výtoku barvitka	29
3.4. Tepelné výpočty	33
<b>4. Technickoekonomické zhodnocení</b>	40
Závěr	41
Seznam použité literatury	42

## SEZNAM POUŽITÝCH SYMBOLŮ A ZNAČEK

Značka	Jednotka	Veličina
a	(m <sup>2</sup> .s <sup>-1</sup> )	teplotní vodivost
a	(m)	šířka
A	(-)	charakteristický rozměr průtočného průřezu
b	(m)	délka
B <sub>i</sub>	(-)	Biotovo kriterium
c <sub>p</sub>	(J .kg <sup>-1</sup> .K <sup>-1</sup> )	střední měrné teplo
C	(-)	tvarová konstanta
d	(m)	průměr
d <sub>r</sub>	(m)	redukovaný průměr
h	(m)	výška
F <sub>o</sub>	(-)	Fourierovo kriterium
K	(-)	tvarová konstanta
l	(m)	délka výtoku
m	(kg)	hmotnost
O	(m)	obvod
P	(m <sup>2</sup> )	plocha
Δp	(Pa)	hydrostatický tlak
r	(m)	poloměr
Q	(m <sup>3</sup> .s <sup>-1</sup> )	objemový průtok
Q <sub>max</sub>	(m <sup>3</sup> .s <sup>-1</sup> )	max. objemový průtok
Q <sub>min</sub>	(m <sup>3</sup> .s <sup>-1</sup> )	min. objemový průtok
Q	(J)	teplo
Q̇	(W)	tepelný tok
Q̄	(W)	tepelný výkon
s	(m)	tloušťka stěny
S	(m <sup>2</sup> )	plocha
t	(°C)	teplota
t <sub>b</sub>	(°C)	teplota barvitka
t <sub>f</sub>	(°C)	teplota výhřevu
t <sub>o</sub>	(°C)	teplota frity
t <sub>v</sub>	(°C)	teplota vzduchu (okolí)
T	(K)	termodynamická teplota
V	(m <sup>3</sup> )	objem

---

$\alpha$	(W .m <sup>-2</sup> .K <sup>-1</sup> )	součinitel přestupu tepla
$\eta$	(Pa.s)	dynamická viskozita
$\lambda$	(W .m <sup>-1</sup> .K <sup>-1</sup> )	pravá tepelná vodivost
$\lambda_{\text{ef}}$	(W .m <sup>-1</sup> .K <sup>-1</sup> )	efektivní tepelná vodivost
$\lambda_r$	(W .m <sup>-1</sup> .K <sup>-1</sup> )	radiační tepelná vodivost
$\rho$	(kg .m <sup>-3</sup> )	hustota
$\tau$	(s)	čas

## ÚVOD

Sklářský podnik Crystalex a.s. v Novém Boru má v Čechách a v zahraničí již skoro šedesátiprincipiálnou tradici. Crystalex je firmou s velice širokým výrobním sortimentem. Zahrnuje ruční i strojní výrobu nápojového a dekorativního skla, broušený olovnatý křištál a řadu výrobků s aplikací různých dekoračních technik. Výrobky jsou dodávány do celého světa pod ochrannými známkami Bohemia a Bohemia Heritage.

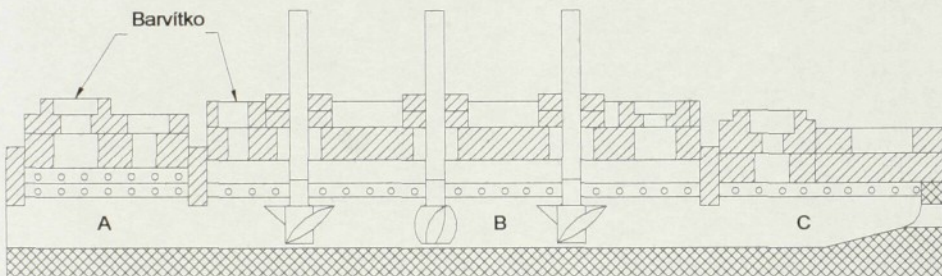
Diplomová práce vychází z požadavků závodu v Hostomicích u Teplic a zabývá se dávkováním barvítek do čiré skloviny. Rozbor provozních výsledků ukazuje na nutnost náhrady stávajícího, nevyhovujícího způsobu dávkování barvítek novým způsobem, který spočívá v předtavení barvítek v dávkovací komoře za předpokladu vyloučení současného plynového otopu feedru.

Práce se zabývá vhodnou alternativou konstrukčního provedení tak, aby zařízení bylo co možná nejednoduššího, kompaktního provedení s minimálními prostorovými nároky, které umožní flexibilní využití v jiných feedrech v rámci a.s. Crystalex.

V souladu se zadáním se diplomová práce dělí do čtyř kapitol. V první kapitole je proveden rozbor současného stavu barvení skloviny a formulace technických požadavků na řešení. V druhé kapitole jsou zpracovány alternativní návrhy možností řešení dávkovací komory s výběrem vhodné varianty. Třetí kapitola předkládá konstrukční řešení vybrané varianty včetně příslušných výpočtů. Závěrečná kapitola se zabývá zhodnocením technickoekonomického přínosu navrženého řešení.

## 1. ROZBOR SOUČASNÉHO STAVU

K utavení sklářské vsázky je použita elektrická odporová pec s výkonem až 12 tun skloviny za den. Na pracovní prostor pece jsou napojeny čtyři žlaby dávkovačů. Barvení mateční skloviny se provádí na feedru s výrobním označením L11-Cx italské firmy Glass – Service (obr.1.1), který se z technologického hlediska dělí do tří zón. A to na zónu barvící, míchací a ustalovací. V barvící zóně, jak už její název říká, má docházet k vnášení barvitka do skloviny. V praxi se však barvitko vnáší na začátku zóny míchací. V míchací zóně dochází k mechanické homogenizaci pomocí tří míchadel tak, aby byla zaručena požadovaná homogenita barvy a sytost skloviny. Míchadla jsou umístěna za sebou ve směru toku skloviny. V poslední zóně se sklovina ustahuje a dávkuje.



Obr. 1.1 Feeder L11- Cx  
A – barvící zóna, B – míchací zóna, C – ustalovací zóna

### 1.1. PROCES BARVENÍ

Ve výrobě dochází k procesu barvení 3x až 4x během roku v závislosti na poptávce po výrobku.

Jako barvitko se používá barevné sklo ve formě malých střípků, které jsou umístěny v zásobníku nad feedrem, odkud se barvitko dávkuje na váhu. Tady dojde k odvážení nastaveného, potřebného množství barvitka a současně dochází ke kontrole množství barvitka dodaného ze zásobníku, případně dojde ke korekci dávky. Po odvážení se barvitko pomocí vibračního dopravníku dopraví nad barvící resp. míchací zónu feedru a skrz přídavné zařízení volně padá na mateční sklovинu, kde na hladině dochází k utavení barvitka. V míchací zóně se poté barvitko pomocí míchadel rozmíchá do celého objemu skloviny.

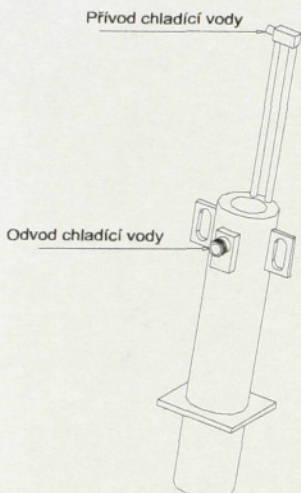
Přídavné zařízení (obr.1.2) je umístěno v otvoru, který se vytvoří odebráním horní vyzdívky feedru v barvící zóně. V podstatě jde o trubku definované tloušťky s chlazeným pláštěm.

Chlazení je zajištěno vzduchem, nebo vodou a má zabránit případnému přilepení se barvítka na stěnu zařízení. V případě vodního chlazení proudí chladicí médium v trubkách uložených do spirál v plášti.

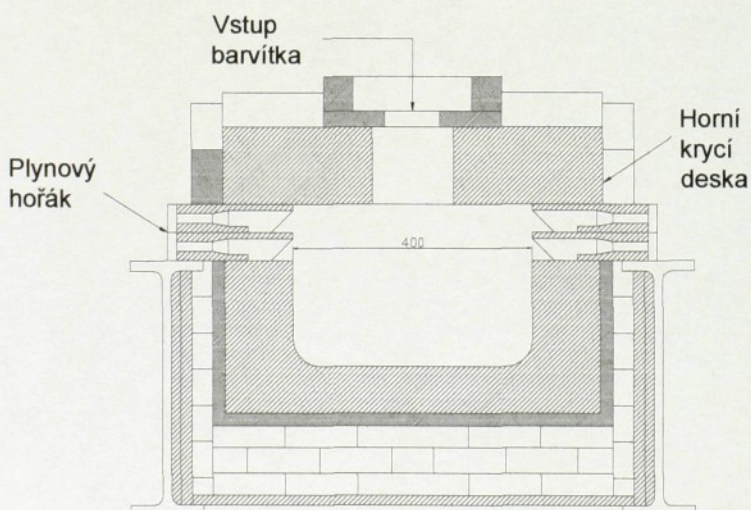
Oba způsoby chlazení vykazují určité nedostatky, které mají vliv na kvalitu barvení.

Při prvním způsobu chlazení, kdy vzduch proudí po vnější stěně zařízení, dochází k zachlazování povrchu skloviny ve feedru, což je z technologického hlediska nevhodné.

V případě vodního chlazení je zachlazení povrchu skloviny menší, ale často dochází k závadám na rozvodu chladicí vody, což mělo za následek i vniknutí vody do prostoru samotného feedru.



Obr. 1.2 Vodou chlazené přídavné zařízení



Obr. 1.3 Řez feedrem v barvici zóně

## 1.2. FORMULACE TECHNICKÝCH POŽADAVKŮ

Výsledkem má být zařízení s funkcí předtavení barvitka a jeho následného dávkování. Zařízení má být kompaktního provedení s minimálními prostorovými nároky, které umožní případné flexibilní využití i na jiných feedrech v rámci a.s. Crystalex.

### 1.2.1. Feeder

- výkon 1 – 4 tuny barevného skla/den
- předpoklad nahradu plynového otopu feedru elektrickým
- teplota v barvící zóně 1280 °C
- šířka feedru 400 mm

### 1.2.2. Dávkovací zařízení

- předehřev a natavení barvitka
- množství dávkovaného barvitka 1 – 3 kg/hod.
- výtok nejbliže hladině

### 1.2.3. Barvitko

- modrá a zelená frita

Tab. 1.1 Základní fyzikální vlastnosti barvitka

Barva	Hustota (g.cm <sup>-3</sup> )	Atmosféra	Trans.tepl. (°C)	Tepl. měknutí (°C)
Modrá FV211	2,58	oxidační	505	550
Zelená FV608	2.55	oxidační	465	535



Obr. 1.4 Modrá frita FV211

## 2. ALTERNATIVNÍ NÁVRHY ŘEŠENÍ

### 2.1. TAVICÍ KOMORA

V tavici komoře bude docházet k předtavení barvitka na teplotu vhodnou k jeho vnášení do čiré skloviny. Roztavené barvitko bude v přímém kontaktu s vnitřními stěnami tavicí komory a vnější stěny budou případně vystaveny vlivu teplot topného elementu.

#### 2.1.1. Přímo vytápěná Pt - komora

Volba vychází z dobrých termochemických vlastností platinových materiálů v kontaktu s různými sklářskými materiály. Další výhodou jsou dobré termomechanické hodnoty při teplotách nad 1500 °C. Podobná zařízení vykazují i dlouhou životnost.

Pro platinové materiály se mohou použít procesy spojování a přetváření jako u železných a neželezných materiálů. Běžné nízkolegované platinové materiály mohou být spojeny tavným svařováním, protože neoxidují. U tohoto procesu je třeba dát pozor aby disperzoidy nekoagulovaly a nevyplavovaly se.

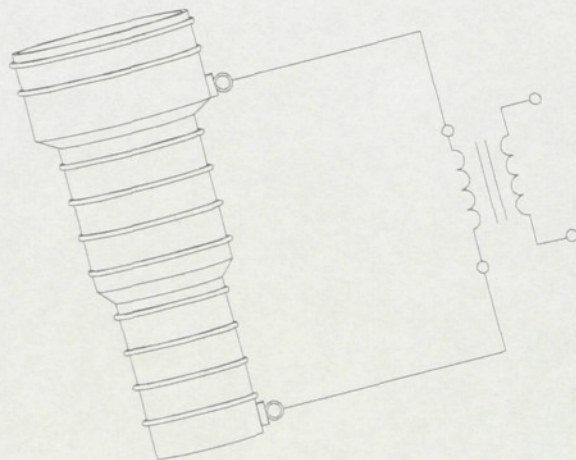
Spojení prostřednictvím tupého svaru může vést k redukci pevnosti. Zvětšením plochy průze v oblasti spoje je možné tuto ztrátu pevnosti vykompenzovat. Při svařování koutovými svary se povrch částečně roztaví, ztráta pevnosti se může potlačit vhodným výběrem tloušťky plechu. Pokud je požadavek, aby spoj vydržel vysoké termické a mechanické zatížení, tak je nutné upřednostnit tlakové nebo kovářské svařování.

Individuální tvarování produktu, stejně tak nízký počet kusů, vyžaduje univerzální proces přetváření. Proto se výrobky vytváří z plechů, trubek a jiných profilů. Při zpracování těchto materiálů, mimo válcování a tažení, patří tlakové a ohýbací operace k nejčastěji používaným metodám přetváření.

V navrhovaném řešení na obrázku 2.1 je znázorněno provedení zařízení zhotoveného z materiálu 16PtRh10. Komora je vytvořena z plechů kruhového průze. V důsledku vysokého tepelného zatížení jsou konce plechů spojeny prostřednictvím kovářského svaru. Po obvodu komory se nacházejí konstrukční drážky, vytvořené pomocí vytláčecího kolečka, které vytvářejí konstrukci a přispívají tím k vyšší tvarové stálosti komory. Usazení drážky u dna komory umožní přesazení svarového spoje. Změna průměru dovoluje posazení komory do horní krycí desky feedru.

K ohřevu komory, a následně i k tavení barvitka dochází v důsledku přímého průchodu elektrického proudu konstrukcí komory.

Nevýhodou navrhovaného řešení jsou velmi vysoké pořizovací náklady.

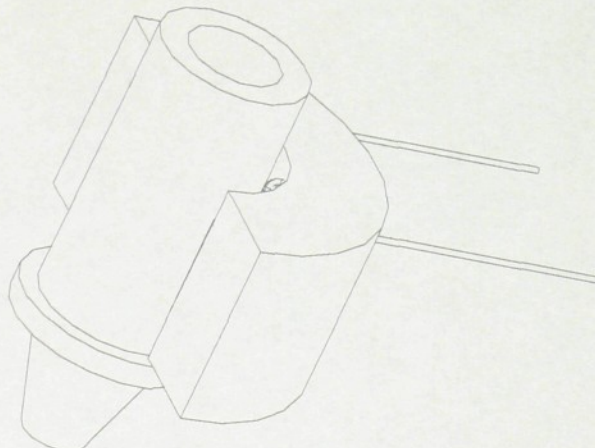


Obr. 2.1 Přímo elektricky vytápěná Pt – komora

### 2.1.2. Nepřímo vytápěná komora

Navrhované řešení, zobrazené na obrázku 2.2., se skládá z tavicí komory a topných modulů.

Komora je zhotovena z keramického materiálu, který je vhodný pro přímý kontakt s roztaženou sklovinou. Zdroj tepla zprostředkovují topné moduly SUPERTHAL fy.KANTHAL, které jsou umístěny okolo vnějšího pláště válcové části komory.



Obr.2.2 Nepřímo vytápěná komora.

### 2.1.3. Rozhodovací analýza pro tavicí komoru

K výběru konečné varianty pro navrhovaná řešení je použita rozhodovací analýza. Tato metoda patří do kategorie heuristických. Účelně spojuje přednosti empirického a exaktního rozhodování.

Princip rozhodovací analýzy spočívá v několika postupných krocích, kdy je nejprve sestaven soubor hodnotících kritérií užitnosti (popř.rizik). Jednotlivým variantám je přiřazeno hodnocení daného kritéria ze stobodové stupnice. Pro posouzení závažnosti kritérií je sestaveno pořadí pomocí metody párového srovnání a následně je jím přiřazena váha. Poté je počítán vážený průměr ze vztahu

$$U_i = \frac{\sum w_j \cdot x_{ij}}{n}$$

kde

j ..... počet kritérií

$U_i$  ..... užitnost i-té varianty v absolutním vyjádření

$w_j$  ..... váha j-tého kritéria

$x_{ji}$  ..... hodnota j-tého kritéria i-té varianty

i ..... označení variant

Pro lepší porovnání variant je použita užitnost v relativním vyjádření ve vztahu k absolutně ideální variantě splňující všechna kritéria na 100 bodů.

Pro rozhodovací analýzu volby tavicí komory byla zvolena kritéria :

1. konstrukční jednoduchost
2. náklady na realizaci
3. životnost
4. zásah do konstrukce feedru

a zvolené varianty

- 2.1.1. přímo vytápěná Pt - komora
- 2.1.2. nepřímo vytápěná komora

Tab. 2.1 Rozhodovací analýza

Párové srovnání alternativ				Matice užitnosti alternativ					
číslo	počet voleb	pořadí významnosti	váha	Varianta		2.1.1.		2.1.2.	
						Hodnota		Hodnota	
				prostá	vážená	prostá	vážená	prostá	vážená
1.	3	1	4	95	380	85	340		
2.	1	3	2	60	120	90	180		
3.	2	2	3	90	270	70	210		
4.	0	4	1	50	50	50	50		
Celkem					820		780		
Užitnost v relativním vyjádření [%]					82%		78%		
Pořadí alternativ podle užitnosti					1.		2.		

Provedenou rozhodovací analýzou se jeví jako výhodnější varianta 2.1.1., tedy Pt – komora.

Výše finančních nákladů na pořízení takového zařízení ovšem nesplňuje představy zadavatele diplomové práce, proto je zvolena jako vhodnější varianta řešení nepřímo vytápěná komora.

## 2.2. VÝTOK A REGULACE VÝTOKU BARVÍTKA

Přímý výtok barvítka z komory je nepřípustný, jelikož při dopadu roztaveného barvítka na mateční sklovину by docházelo tvorbě vzduchových bublin. Je tedy zapotřebí svést vytékající barvítko na hladinu skloviny.

### 2.2.1. Svodná tyč

Navrhované řešení je zobrazeno na obrázku 2.3. Keramická tyč s poplatinovaným pláštěm v dolní polovině je umístěna v ose komory a současně v ose výtokového otvoru. Spodní konec je ponořen do mateční skloviny. Barvítko stéká po pláště tyče na hladinu skloviny.

Proměnný průřez tyče je využit k regulaci výtoku barvítka. Při vertikálním posuvu tyče bude docházet změně rozměru výtokového otvoru. Množství vytékajícího barvítka bude dáno vzorcem :

$$C \dots \text{tvarová konstanta}$$

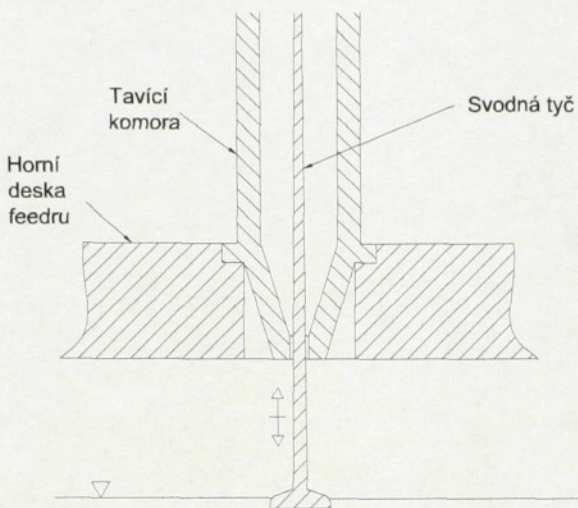
$$r_1, r_2 \dots \text{rozměry otvoru } (r_1 > r_2) \text{ (m)}$$

$$\Delta p \dots \text{hydrostatický tlak (Pa)}$$

$$\eta \dots \text{dynamická viskozita (Pa.s)}$$

$$l \dots \text{délka výtoku (m)}$$

$$Q = \frac{C \cdot r_1 \cdot r_2^3 \cdot \Delta p}{8 \cdot \eta \cdot l}$$



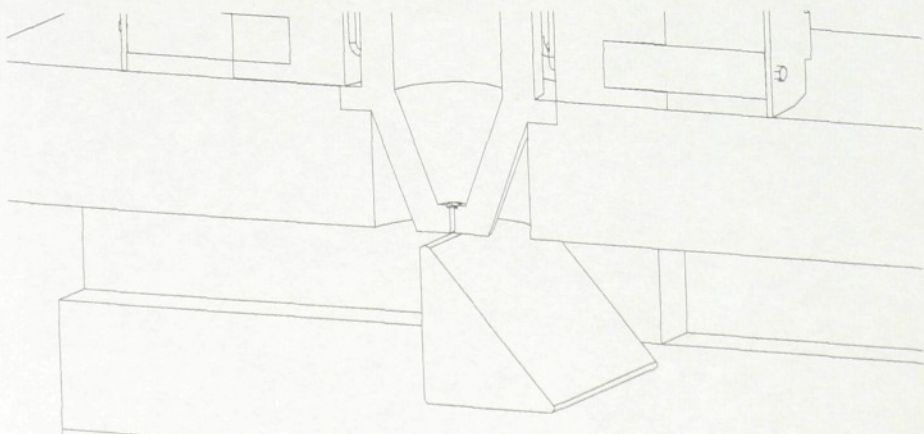
Obr. 2.3 Výtok prostřednictvím svodné tyče

Nevýhodou je přítomnost dalšího zařízení na zprostředkování lineárního pohybu tyče.

### 2.2.2. Hradicí kámen

Řešení, vyobrazené na obrázku 2.4, spočívá v umístění hradicího kamene do prostoru feedru pod výtok z tavicí komory. Natavené barvítko bude stékat po šikmě, poplatinované ploše hradicího kamene na hladinu mateční skloviny.

Množství vytékajícího barvítnka bude regulováno dynamickou viskozitou, která se bude měnit v závislosti na teplotě, tzn. při konstantním rozměru výtokového otvoru a potřebném množství barvítnka stanovíme teplotu, resp. viskozitu vytékajícího barvítnka.



Obr. 2.4 Výtok barvítnka na hradicí kámen

### 2.2.3. Rozhodovací analýza pro výtok barvítka

Pro rozhodovací analýzu volby tavicí komory byla zvolena kritéria

1. konstrukční jednoduchost
2. prostorové nároky
3. náklady na realizaci
4. zásah do konstrukce feedru

a zvolené varianty

2.2.1. svodná tyč

2.2.2. hradicí kámen

Tab. 2.2. Rozhodovací analýza

Párové srovnání alternativ				Matice užitnosti alternativ			
Varianta				2.2.1.		2.2.2.	
číslo	počet voleb	pořadí významnosti	váha	Hodnota		Hodnota	
				prostá	vážená	prostá	vážená
1	3	1	4	60	240	95	380
1	2	2	3	70	210	90	270
2	1	3	2	65	130	80	160
3	0	4	1	70	70	50	50
Celkem				650		860	
Užitnost v relativním vyjádření [%]				65%		86%	
Pořadí alternativ podle užitnosti				2.		1.	

Z rozhodovací analýzy v Tab. 2.2 vyplývá, že z navržených variant je nevhodnější varianta 2.2.2., tedy výtok barvítka po šikmé ploše hradicího kamene.

### 2.3. VOLBA TVARU VÝTOKOVÉHO OTVORU

Obecně lze pro objemový průtok použít :

a) Hagen – Poiseuillův zákon

$$Q = \frac{\pi \cdot d_r^4 \cdot \Delta p}{2 \cdot A \cdot \eta \cdot l}$$

kde

$\Delta p$  ... hydrostatický tlak (Pa)

$\eta$  ... dynamická viskozita (Pa.s)

$l$  ... délka výtoku (m)

dále je ve vzorci charakteristický rozměr průtočného průřezu vyjádřen tzv. redukovaným průměrem  $d_r$ .

$$d_r = \frac{4 \cdot P}{O}$$

Hodnota koeficientu A závisí na tvaru průtočného profilu a pro jednotlivé profily bývá uvedena v různých hydrodynamických příručkách. Hodnoty koeficientu A se pro stejný průřez v různých literaturách liší. V tabulce 2.3 jsou uvedeny některé hodnoty koeficientu A.

Tab. 2.3. Hodnoty koeficientu A a  $d_r$

Profil	$d_r$	A
kruh $\emptyset a$	a	64
čtverec o straně a	a	57
obdélník $a=2b$	$a/1,5$	62

Dále můžeme také použít následující vztah :

$$Q = \frac{K \cdot a^2 \cdot b^2 \cdot \Delta p}{4 \cdot \eta \cdot l}$$

v podstatě se jedná pouze o jinou variantu Hagen – Poiseuillova zákona, kde

$\Delta p$  ... hydrostatický tlak (Pa)

$\eta$  ... dynamická viskozita (Pa.s)

$l$  ... délka výtoku (m)

Vzorec platí pro pravoúhlé průřezy. V tomto vzorci jsou vyjádřeny skutečné rozměry průtočného profilu: šířka a, výška b. Hodnota K závisí na poměru stran průtočného profilu ( $a \geq b$ ). Hodnotu K je možno také stanovit ze vzorců :

$$K = \frac{1}{2} \cdot C \cdot \frac{b}{a} \quad \text{nebo} \quad K = 1,0498 - 0,24 \cdot \frac{b}{a} - \frac{1,8243}{\frac{b}{a} + 1,7376}$$

kde koeficient  $C=2/3$  (pro úzké štěrbiny)

Vzhledem k použití tzv. redukovaného průměru v Hagen-Poiseullově zákoně, jehož fyzikální význam není jasně definován a jehož hodnoty se liší dle použité literatury, je vhodnější použít druhý vztah, neboť se v něm vyskytují skutečné rozměry průtočného průřezu.

b) metodu konečných prvků

Simulace by se prováděla na vytvořeném numerickém modelu výtokového otvoru tavicí komory s vhodně zvolenými okrajovými podmínkami.

Závěr

Vzhledem k tomu, že se nám podařilo nalézt vhodnou verzi Hagen – Poisellova zákona, použijeme jej. Jeho aplikace bude rychlejší než numerický model.

## 2.4. VÝBĚR VARIANTY PRO KONSTRUKČNÍ ŘEŠENÍ

Výběr varianty pro konstrukční řešení se odvíjí od výsledků rozhodovacích analýz v předešlých kapitolách a z požadavků Crystalex a.s. Navržené konstrukční řešení se tedy bude skládat z :

- nepřímo vytápěné komory
- hradícího kamene
- Pt - trysky s otvorem pravoúhlého průřezu

### 3. KONSTRUKČNÍ ŘEŠENÍ

Tato kapitola obsahuje konstrukční řešení vybrané varianty dávkovacího zařízení. V úvodní podkapitole je uveden přehled výkresové dokumentace. Následující podkapitola je věnována popisu zařízení. Příslušným výpočtům jsou věnovány samostatné podkapitoly. Použité materiály a komponenty jsou vybrány od výrobců spolupracujících s Crystalex a.s.

#### 3.1. PŘEHLED VÝKRESOVÉ DOKUMENTACE

Členění přiložené výkresové dokumentace je znázorněno na obr. 3.1., ze kterého je také patrné značení výkresů a vazby mezi jednotlivými výkresy. Sestavné výkresy obsahují kusovník buď přímo na výkrese, nebo je samostatně přiložen. Dokumentace obsahuje jen vybrané výkresy.

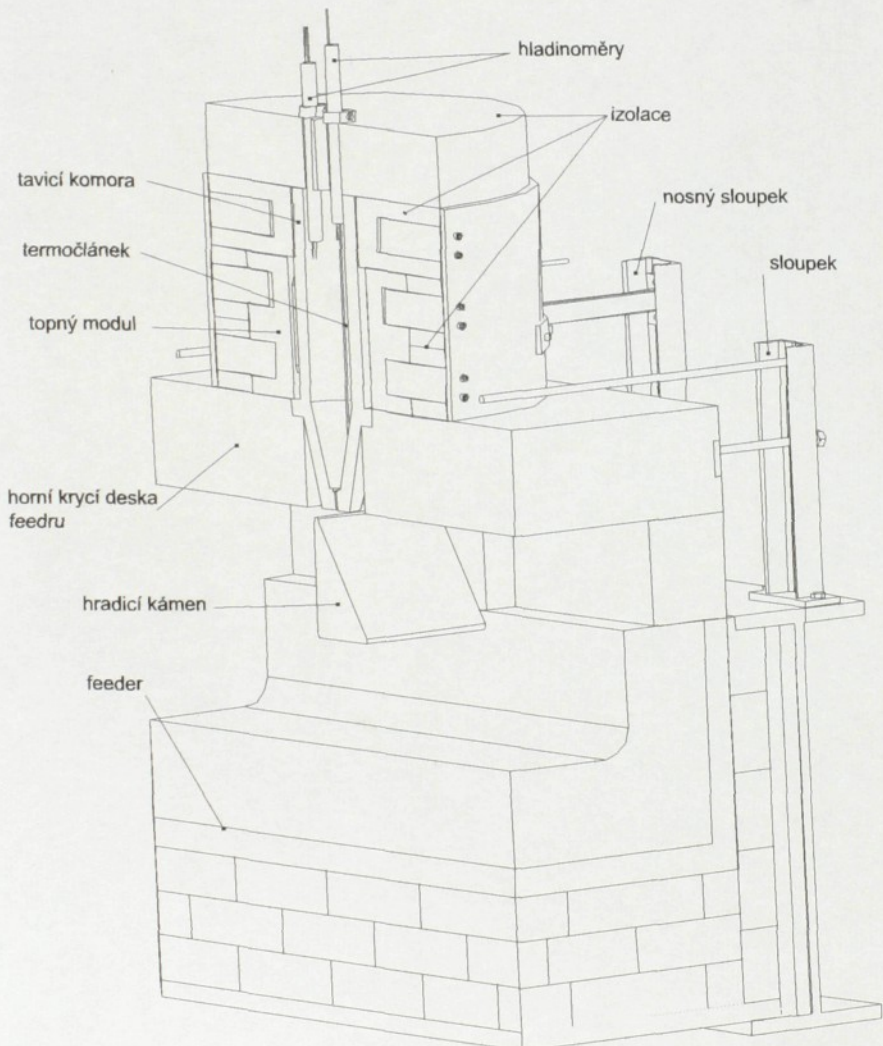


Obr 3.1 Schéma způsobu členění výkresové dokumentace

### 3.2. POPIS DÁVKOVACÍHO ZAŘÍZENÍ

Kompletní zařízení je tvořeno z části současným zařízením (tj. zásobníkem, váhou, vibračním dopravníkem) a novým dávkovacím zařízením. Dávkovací zařízení (obr. 3.1) se skládá z tavící komory, topných modulů, izolace, regulačních prvků a hradicího kamene umístěného vně feedru. V zařízení bude docházet k předtavení barvitka.

Základní funkce dávkování vychází z principu, co do tavící komory vstoupí, to z tavící komory vystoupí. V praxi to znamená, že množství vstupující barevné frity je rovno množství vytékajícího roztaveného barvitka.

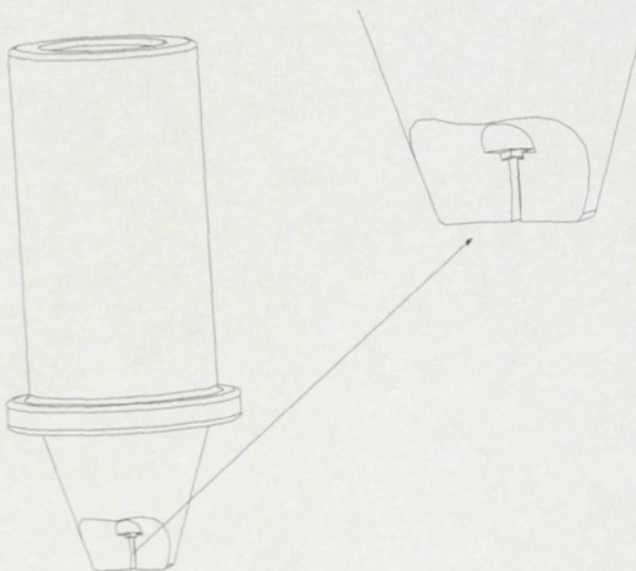


Obr. 3.2 Prostorové zobrazení dávkovacího zařízení v řezu

### 3.2.1. Tavící komora

Konstrukční provedení tavící komory je vyobrazeno na obr. 3.3. Na přechodu mezi válcovou a kuželovou částí je vytvořeno osazení, které nám umožní posazení komory do horní krycí desky feedru. Otvor ve dně komory je vytvořen pro osazení platinové trysky.

Roztavené barvítko bude v přímém kontaktu se stěnami komory, proto je zvolen jako konstrukční materiál komory ZIRCODUR 68 WA , který je vhodný pro přímý styk s roztavenou sklovinou.

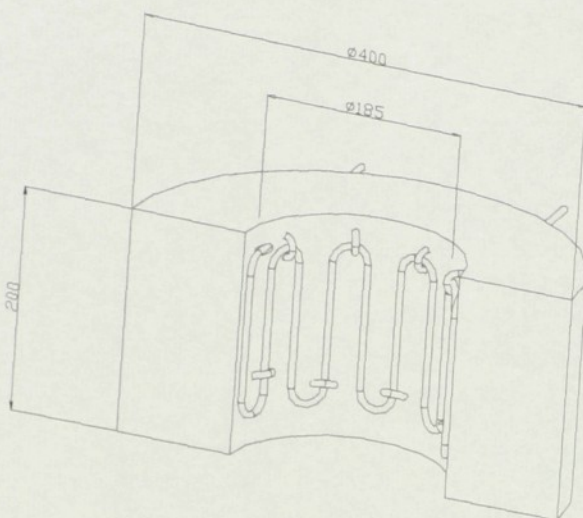


Obr. 3.3 Tavící komora

### 3.2.2. Topné moduly

Jako zdroj tepla pro natavení barvítko se využijí topné moduly SUPERTHAL SHC HT (obr. 3.4). Tyto moduly jsou určeny pro velmi vysoké teploty výhřevu až 1675 °C. Topný element umístěný na vnější ploše modulu bude dosahovat teplot kolem 1700 °C. Oproti standardním modulům se HT moduly vyrábějí pouze v půlválcovém provedení a musí být nasazeny pouze ve vertikálním směru.

V našem případě se umístí dva topné moduly okolo válcové části tavící komory. Pro správnou funkci výhřevu je zapotřebí vyhřívaný prostor mezi topnými elementy a stěnou komory zdola a svrchu izolovat. Každý z modulů bude napájen samostatně.



Obr. 3.4 Topný modul SUPERTHAL SHC HT

### 3.2.3. Izolace

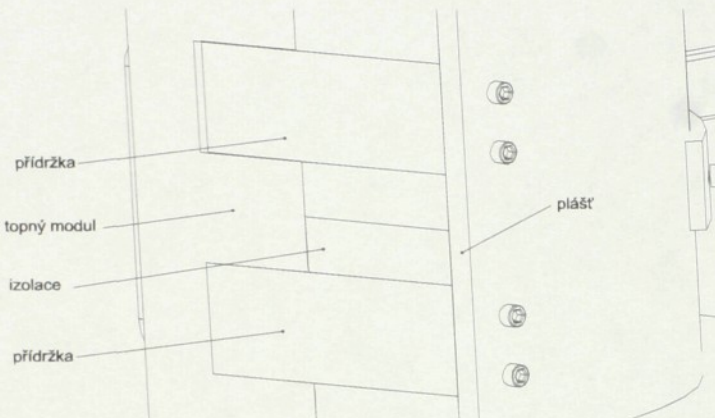
Izolace umístěná kolem topných modulů a tavicí komory má snížit tepelné ztráty zařízení na minimum. Jako vhodná izolace byly zvoleny vakuově tvarované desky na bázi keramických vláken PROMAFORM. Tento izolační materiál s permanentní odolností vůči vysokým teplotám vyniká také vysokou mechanickou pevností, nízkou tepelnou vodivostí a dobrou rozměrovou stálostí i při vysokých teplotách.

Desky, dodávající se v rozměrech 1000 x 500 s max. tloušťkou 100 mm, mohou být velmi přesně opracovány na požadovanou velikost všemi nástroji a zařízeními na obrábění dřeva. Pro náš případ vytvoříme z desek izolaci tvaru zobrazeného na obr. 3.5.



Ob. 3.5 Izolace

Topný modul a izolace se společně umístí do plechového pláště, kde budou upevněny pomocí přídržek. Tyto přídržky jsou uloženy v drážkách vytvořených na čelní straně izolace a topného modulu. Každá přídržka je připojena pomocí dvou šroubů k plechovému pláště (obr. 3.6.). V takto získané kompaktní součásti zařízení bude možno jakýkoliv prvek nahradit jiným nebo poškozený prvek nahradit novým. Pomocí vidlice je součást připojena k nosnému sloupu.

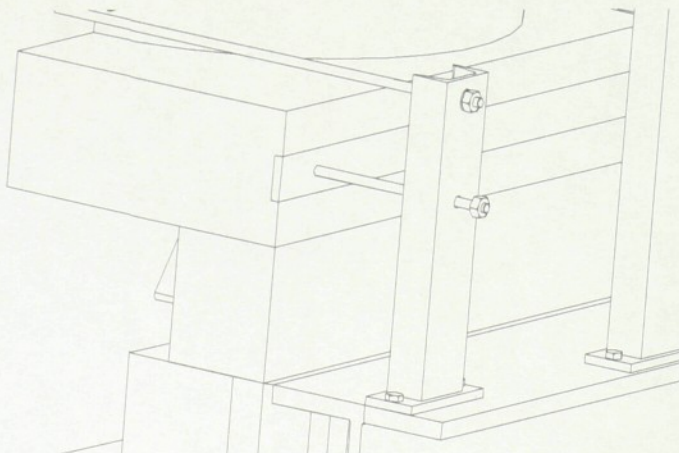


Obr. 3.6. Uchycení modulu a izolace

### 3.2.4. Přídavné zařízení

Přídavné zařízení slouží k vyztužení horní krycí desky, v případě destrukce desky má zabránit jejímu zřícení do prostoru feedru. Zařízení je zobrazeno na obrázku 3.7.

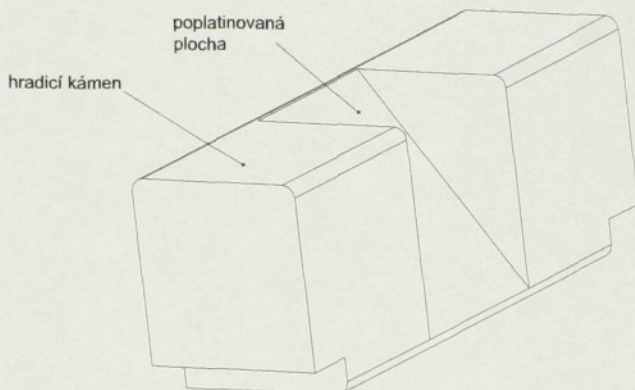
Spodní šroub přitlačuje ocelový pás umístěný v drážce desky a horní stahuje protilehlé sloupyky.



Obr. 3.7 Zařízení pro vyztužení horní desky feedru

### 3.2.5. Hradicí kámen

Hradicí kámen (obr. 3.8) zhotovený z materiálu ER 1711 RT je umístěn pod výtok z tavící komory a natavené barvítko stéká po šikmě, poplatinované ploše na hladinu mateční skloviny.



Obr. 3.8 Hradicí kámen

### 3.2.6. Termočlánek

Pro správnou regulaci množství vytékajícího barvítníku je zapotřebí snímat jeho teplotu. Volba termočlánku byla tedy odvislá od provozních podmínek vně tavící komory. Hlavní podmínky pro volbu termočlánku :

- max. teplota barvítníku 1280 °C
- chemické složení barvítníku (borosilikát)

Z internetového katalogu firmy Omega byl vybrán termočlánek s výrobním označením :

XPA – P13R – 125 – 24 – M – S – 17,5  
1. 2. 3. 4. 5. 6. 7.

Legenda:

1. materiál pouzdra : platina – rhodium
2. kalibrace : Pt - 13% Rh
3. průměr pouzdra : 0,125"
4. tloušťka drátu : 24 AWG
5. izolace : magnesium
6. ukončení : standart
7. délka : 17,5'

### 3.2.7. Hladinoměr

Informace o výšce hladiny roztaveného barvitka vně tavicí komory je důležitá jak pro správnou regulaci výtoku, tak pro plynulý provoz zařízení.

V našem zařízení je využito k měření hladiny dvou statických hladinoměru s platinovými hroty (obr. 3.9). První z hladinoměrů hlídá provozní výšku hladiny roztaveného barvitka. Druhý hladinoměr snímá případný extrémní vzestup hladiny barvitka v komoře.



Obr. 3.9 Statický dvouhrotový hladinoměr

### 3.2.8. Proces barvení

Na začátku barviciho procesu je třeba vytvořit v tavicí komoře ustálenou hladinu roztaveného barvitka. O dosažení tohoto stavu nás bude informovat jeden z hladinoměrů. Poté může začít samotný proces barvení.

Navážené potřebné množství barevné frity je dopraveno vibračním dopravníkem na vstup dávkovacího zařízení, kde skrz vzduchem chlazenou násypku spadne na hladinu roztaveného barvitka. Stejné množství, ve formě nataveného barvitka, je dávkováno z tavicí komory do mateční skloviny. V následující kapitole jsou provedeny příslušné výpočty týkající se výtoku barvitka z komory.

### 3.3. VÝPOČET VÝTOKU BARVÍTKA

Výpočty provedené v této kapitole slouží k určení provozních podmínek barvení.

Pro proces dávkování je závislost viskozity na teplotě důležitou vlastností barvítka. Výrobce ovšem nebyl schopen tuto informaci poskytnout a proto byl vzorek barvítka odeslán do laboratoří VŠCHT v Praze, kde byla stanovena následující rovnice pro výpočet teplotní závislosti viskozity :

$$\log(\log \eta) = 10,49045 - 3,27350 \cdot \log T$$

a naměřeny následující hodnoty :

Tab. 3.1 Teplotní závislost viskozity

Teplota (°C)	$\log \eta$ (dPa·s)
1290	1,089143
1235	1,224307
1181	1,380673
1130	1,535720

Množství dávkovaného barvítka se pohybuje v rozmezí 1 až 3 kg/hod. Následující výpočty jsou provedeny pro tyto dvě krajní hodnoty a fyzikální hodnoty přísluší modré fritě FV211.

Výpočty :

Max. objemový průtok :

množství dávkovaného barvítka 3 kg/hod,  $\rho = 2,58 \text{ g.cm}^{-3}$

$$\rho = 2,58 \text{ g.cm}^{-3} \rightarrow \rho = 2580 \text{ kg.m}^{-3}$$

$$V = \frac{m}{\rho} = \frac{3}{2580} = 1,162 \cdot 10^{-3} \text{ m}^3$$

objemový průtok

$$Q_{\max} = \frac{V}{3600} = \frac{1,162 \cdot 10^{-3}}{3600} = 0,322 \cdot 10^{-6} \text{ m}^{-3} \cdot \text{s}^{-1}$$

Rozměry výtokového otvoru (obr. 3.10) :

$$Q_{\max} = \frac{K \cdot a^2 \cdot b^2 \cdot \Delta p}{4 \cdot \eta \cdot l}$$

pro úzkou štěrbinu je  $C = 2/3$ ; zvoleno  $a = 1 \text{ mm}$ ; platí  $b \geq a$

$$K = \frac{1}{2} \cdot C \cdot \frac{a}{b} = \frac{1}{2} \cdot \frac{2}{3} \cdot \frac{a}{b} = \frac{1}{3} \frac{a}{b}$$

při  $Q_{\max} = 0,322 \cdot 10^{-6} \text{ m}^3 \text{s}^{-1}$  bude barvitko dávkováno při teplotě  $1280 \text{ }^{\circ}\text{C}$

$$\log \eta = 10^{10,49045 - 3,27350 \cdot \log(273,15 + 1280)} = 1,107 \text{ dPa} \cdot \text{s}$$

$$\eta = 10^{1,107} = 12,794 \text{ dPa} \cdot \text{s} = 1,2794 \text{ Pa} \cdot \text{s}$$

výška hladiny nad výtokem  $h = 350 \text{ mm}$ . Při podmínce rovnosti množství na vstupu a na výstupu tavící komory můžeme tuto hodnotu považovat za konstantní

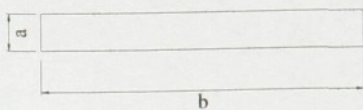
$$\Delta p = \rho \cdot g \cdot h = 2580 \cdot 9,81 \cdot 0,35 = 8858,4 \text{ Pa}$$

délka vý toku  $l = 30 \text{ mm}$  (obr. 3.11)

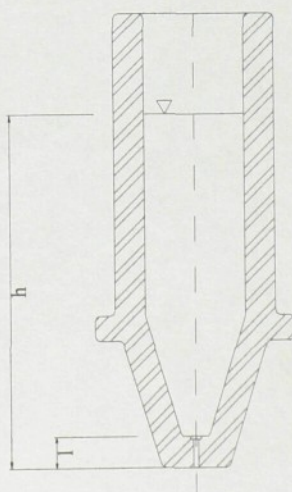
$$Q_{\max} = \frac{\frac{a}{b} \cdot a^2 \cdot b^2 \cdot \Delta p}{3 \cdot 4 \cdot \eta \cdot l} = \frac{a^3 \cdot \Delta p}{12 \cdot \eta \cdot l}$$

$$b = \frac{Q_{\max} \cdot 12 \cdot \eta \cdot l}{a^3 \cdot \Delta p} = \frac{0,322 \cdot 10^{-6} \cdot 12 \cdot 1,2794 \cdot 0,03}{0,001^3 \cdot 8858,4} = 0,0167 \text{ m} = 16,7 \text{ mm}$$

Rozměry výtokového otvoru :  $a = 1 \text{ mm}$ ;  $b = 16,7 \text{ mm}$



Obr. 3.10 Výtokový otvor



Obr. 3.11 Uspořádání tav. komory

Kontrola výpočtu objemového průtoku :

$$Q_{\max k} = \frac{K \cdot a^2 \cdot b^2 \cdot \Delta p}{4 \cdot \eta \cdot l}$$

kde  $a = 1 \text{ mm}$ ;  $b = 16,7 \text{ mm}$ ;  $\Delta p = 8858,4 \text{ Pa}$ ;  $l = 350 \text{ mm}$ ;  $\eta = 1,2794 \text{ Pa.s}$

$$K = 1,0498 - 0,24 \cdot \frac{a}{b} - \frac{1,8243}{\frac{a}{b} + 1,7376} = 1,0498 - 0,24 \cdot \frac{0,001}{0,0167} - \frac{1,8243}{\frac{0,001}{0,0167} + 1,7376}$$

$$K = 0,02$$

objemový průtok

$$Q_{\max k} = \frac{K \cdot a^2 \cdot b^2 \cdot \Delta p}{4 \cdot \eta \cdot l} = \frac{0,02 \cdot 0,001^2 \cdot 0,0167^2 \cdot 8858,4}{4 \cdot 1,2794 \cdot 0,35} = 0,322 \cdot 10^{-6} \text{ m}^3 \text{s}^{-1}$$

$$Q_{\max} = Q_{\max k}$$

Min. objemový průtok :

množství dávkovaného barvítka  $1 \text{ kg/hod.}$ ;  $\rho = 2580 \text{ kg.m}^{-3}$

$$V = \frac{m}{\rho} = \frac{1}{2580} = 0,3875 \cdot 10^{-3} \text{ m}^3$$

objemový průtok

$$Q_{\min} = \frac{V}{3600} = 0,107 \cdot 10^{-6} \text{ m}^3 \text{s}^{-1}$$

Teplota barvítka při  $Q_{\min}$  :

dané hodnoty  $a = 1 \text{ mm}$ ;  $b = 16,7 \text{ mm}$ ;  $\Delta p = 8858,4 \text{ Pa}$ ;  $l = 350 \text{ mm}$ ;

$$Q = \frac{K \cdot a^2 \cdot b^2 \cdot \Delta p}{4 \cdot \eta \cdot l}$$

$$\eta = \frac{K \cdot a^2 \cdot b^2 \cdot \Delta p}{4 \cdot Q_{\min} \cdot l} = \frac{0,02 \cdot 0,001^2 \cdot 0,0167^2 \cdot 8858,4}{4 \cdot 0,107 \cdot 10^{-6} \cdot 0,03} = 3,848 \text{ Pa} \cdot \text{s} = 38,48 \text{ dPa} \cdot \text{s}$$

pro spočtené  $\eta$  stanovíme příslušnou teplotu

$$\log(\log \eta) = 10,49045 - 3,27350 \cdot \log T$$

$$\log(\log 38,48) = 0,200093669$$

$$T = 10 \frac{\log(\eta) - 10,49045}{-3,27350} = 10 \frac{0,200093669 - 10,49045}{-3,27350} = 1392^\circ\text{C}$$

$$t = T - 273,15 = 1392 - 273,15 = 1118,85 \approx 1119^\circ\text{C}$$

Pro  $Q_{\min}$  je teplota barvítka  $t = 1119^\circ\text{C}$

V následující tabulce jsou uvedeny provozní podmínky pro jednotlivé dávky barvítka.

Tab. 3.2 Provozní podmínky barvení

množství barvítka (kg/hod.)	objemový průtok ( $10^{-6} \text{ m}^3 \text{s}^{-1}$ )	teplota barvítka ( $^\circ\text{C}$ )
3	0,322	1280
2,5	0,269	1248
2	0,215	1212
1,5	0,161	1170
1	0,107	1119

Chyba dávkování :

Výška hladiny v tavicí komoře je snímána pomocí statického dvouhrotového hladinoměru. Pro jeho správnou funkci je zapotřebí stanovit, jaký pokles hladiny nebude mít vliv na kvalitu zabarvení. Z současných provozních výsledků vyplývá, že chyba do 5% nemá na kvalitu barvení vliv.

Při dávkování barvítka 1 kg/hod resp.  $Q_{\max} = 0,107 \cdot 10^{-6} \text{ m}^3 \text{s}^{-1}$  představuje 5% chybu  $m = 0,05 \text{ kg}$  resp.  $Q = 0,00535 \cdot 10^{-6} \text{ m}^3 \text{s}^{-1}$

$$Q = \frac{K \cdot a^2 \cdot b^2 \cdot \Delta p}{4 \cdot \eta \cdot l} \Rightarrow \Delta p = \frac{Q \cdot 4 \cdot \eta \cdot l}{K \cdot a^2 \cdot b^2}$$

$$\Delta p = \frac{0,10165 \cdot 10^{-6} \cdot 4 \cdot 3,848 \cdot 0,03}{0,02 \cdot 0,001^2 \cdot 0,0167^2} = 8415,1 \text{ Pa}$$

$$h_1 = \frac{\Delta p}{\rho \cdot g} = \frac{8415,1}{2580 \cdot 9,81} = 0,333 \text{ m}$$

$$\Delta h = h - h_1 = 0,017 \text{ m} = 17 \text{ mm}$$

Pokles či vzestup hladiny od provozní výšky v rozmezí 0 až 17 mm nebude mít na kvalitu barvení vliv. Této podmínce musí být upřesněny také hroty hladinoměrů.

### 3.4. TEPELNÉ VÝPOČTY

Výpočty provedené v této kapitole slouží k určení tepelných ztrát zařízení od kterých se odvíjí volba topného modulu. Výpočty jsou provedeny pro max.hodnotu dávkování, právě tehdy budou topné moduly pracovat na nejvyšší výkon.

Významnou vlastností barvítká je měrné teplo. Ve výpočtech použijeme střední měrné teplo  $c_p$ , které vztahujeme k teplotnímu intervalu 0 až  $t$  ( $^{\circ}\text{C}$ ). Rozdíl mezi skly stejného typu není velký. S teplotou měrné teplo stoupá. V tab. 3.3 jsou uvedeny hodnoty měrných tepel skloviny podobného složení jako barvítko.

Tab. 3.3 Střední měrné teplo barvítká

teplotní interval ( $^{\circ}\text{C}$ )	střední měrné teplo $c_p$ ( $\text{J}\cdot\text{kg}^{-1}\cdot\text{K}^{-1}$ )
0 - 700	1101,6
0 - 1000	1163,6
0 - 1300	1206,9

Další významnou vlastností barvítká je tepelná vodivost. Tepelná vodivost při vysokých teplotách vystupuje současně ve dvojí formě, jako pravá vodivost  $\lambda$  a jako vodivost radiační  $\lambda_r$ . Souhrnně nazývané vodivosti efektivní  $\lambda_{\text{ef}}$ , takže

$$\lambda_{\text{ef}} = \lambda_r + \lambda$$

Záření se u bezbarvých skel začíná uplatňovat již nad  $400$   $^{\circ}\text{C}$  a nad  $800$   $^{\circ}\text{C}$  se stává tepelná vodivost  $\lambda_r$  dominantní. U barevných skel, v důsledku absorpce záření, je sdílení tepla zářením omezeno a hodnoty  $\lambda_r$  jsou proto nižší. Hodnoty tepelné vodivosti barvítká nebyly schopen výrobce opět poskytnout. Po konzultaci s ing. J.Endrýsem, CSc. z VŠCHT byla stanovena jako reálná hodnota střední  $\lambda_{\text{ef}} = 0,7 \text{ Wm}^{-1}\text{K}^{-1}$ .

Při výpočtu tepelných ztrát vycházíme z následujících rovnic pro přestup a vedení tepla válcovou stěnou nebo rovinou stěnou

$$\dot{Q} = \alpha \cdot \pi \cdot d \cdot l \cdot \Delta t$$

$$\dot{Q} = \alpha \cdot S \cdot \Delta t$$

$$\dot{Q} = \frac{2 \cdot \pi \cdot \lambda \cdot l \cdot \Delta t}{\ln \frac{d_2}{d_1}}$$

$$\dot{Q} = \frac{\lambda}{S} \cdot S \cdot \Delta t$$

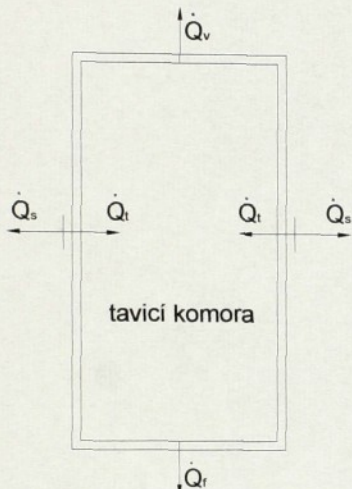
Výpočty:

Dávkované množství 3kg/hod :

Tepelná bilance

$$\dot{Q}_p = \dot{Q}_t + \dot{Q}_s$$

$$\dot{Q}_t = \dot{Q} + \dot{Q}_v + \dot{Q}_f$$



Obr. 3.12 Tepelná bilance

$Q_v$  – tepelná ztráta horní části tavicí komory (obr. 3.13) :

$$t_b = 1280 \text{ } ^\circ\text{C}$$

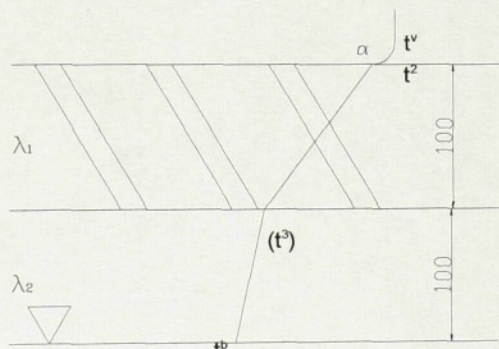
$$t_v = 35 \text{ } ^\circ\text{C}$$

$$\lambda_1 = 0,08 \text{ W.m}^{-1}\text{K}^{-1} \text{ [10]}$$

$$\lambda_2 = 0,08 \text{ W.m}^{-1}\text{K}^{-1} \text{ [2]}$$

$$Q = \frac{\lambda}{s} \cdot S \cdot \Delta t$$

$$\dot{Q} = S \cdot \alpha \cdot \Delta t$$



Obr. 3.13 Prostup tepla horní části komory

teplotu  $t_2$  neznáme, ale stanovíme ji z rovnosti tepelných toků izolační vrstvou a z povrchu izolace do vzduchu

$$\frac{\lambda}{s} \cdot S \cdot \Delta t = \alpha \cdot S \cdot \Delta t \Rightarrow \frac{\lambda}{s} \cdot S \cdot (t_b - t_2) = \alpha \cdot S \cdot (t_2 - t_v)$$

za  $\alpha$  dosadíme  $\alpha_{vz} = 2,1 + 0,083t_{st}$  z [1]

$$\frac{0,08}{0,2} \cdot (1280 - t_2) = (2,1 + 0,083t_2) \cdot (t_2 - 35)$$

$$512 - 0,4 = 2,1t_2 + 0,083t_2^2 - 73,5 - 585,5$$

$$0,083t_2^2 - 0,405t_2 - 585,5 = 0$$

odtud

$$t_2 = \frac{0,405 \pm \sqrt{0,405^2 - 4 \cdot 0,083 \cdot (-585,5)}}{2 \cdot 0,083} = 86,5^\circ\text{C}$$

pro tuto teplotu stanovíme

$$\alpha_{vz} = 2,1 + 0,083t_2 = 2,1 + 0,083 \cdot 86,5 = 9,3$$

spočteme tepelnou ztrátu

$$\dot{Q}_v = \frac{s \cdot (t_b - t_1)}{\frac{1}{\alpha} + \frac{s}{\lambda}} = \frac{\frac{3,14 \cdot 0,1^2}{4} \cdot (1280 - 35)}{\frac{1}{9,3} + \frac{0,2}{0,08}}$$

$$\dot{Q}_v = 3,7 \text{ W}$$

*Q - teplo pro utavení 3kg barvítko :*

$$Q = m \cdot \bar{c}_p \cdot \Delta t$$

$$Q = 3 \cdot 1206 \cdot (1280 - 30) = 4522500 \text{ J}$$

dané množství barvítko je nutno utavit za hodinu

$$\dot{Q} = \frac{Q}{3600} = 1256 \text{ W}$$

prostup stěnou komory (obr. 3.14)

$$t_b = 1280^\circ\text{C}$$

$$\alpha_1 = 100 \text{ W.m}^{-2}\text{K}^{-1} \text{ (celkový součinitel přestupu tepla, konvekce + sdílení)} [9]$$

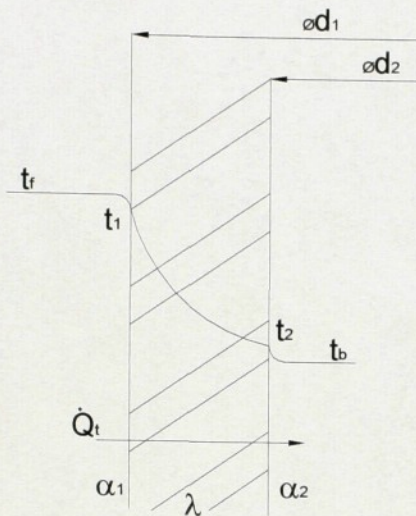
$$\alpha_2 = 180 \text{ W.m}^{-2}\text{K}^{-1} [1]$$

$$\lambda = 3,5 \text{ W.m}^{-1}\text{K}^{-1}$$

$$d_1 = 160 \text{ mm} = 0,16 \text{ m}$$

$$d_2 = 100 \text{ mm} = 0,1 \text{ m}$$

$$\dot{Q}_t = \dot{Q}_v + \dot{Q} = 1260 \text{ W}$$



Obr. 3.14 Prostup stěnou komory

teplota vnitřní stěny komory

$$\dot{Q}_t = \alpha_2 \cdot \pi \cdot d_2 \cdot l \cdot (t_2 - t_b) \Rightarrow t_2 = t_b + \frac{\dot{Q}_t}{\alpha_2 \cdot \pi \cdot d_2 \cdot l} = 1280 + \frac{1260}{180 \cdot 3,14 \cdot 0,1 \cdot 0,2}$$

$$t_2 = 1391^\circ\text{C}$$

teplota vnější stěny komory

$$\dot{Q}_t = \frac{2 \cdot \pi \cdot \lambda \cdot l \cdot (t_1 - t_2)}{\ln \frac{d_1}{d_2}} \Rightarrow t_1 = t_2 + \frac{\dot{Q}_t \cdot \ln \frac{d_1}{d_2}}{2 \cdot \pi \cdot \lambda \cdot l} = 1391 + \frac{1260 \cdot \ln \frac{0,16}{0,1}}{2 \cdot 3,14 \cdot 3,5 \cdot 0,2}$$

$$t_1 = 1525^\circ\text{C}$$

teplota výhřevu

$$\dot{Q}_t = \alpha_1 \cdot \pi \cdot d_1 \cdot l \cdot (t_f - t_1) \Rightarrow t_f = t_1 + \frac{\dot{Q}_t}{\alpha_1 \cdot \pi \cdot d_1 \cdot l} = 1525 + \frac{1260}{100 \cdot 3,14 \cdot 0,16 \cdot 0,2}$$

$$t_f = 1650^\circ\text{C}$$

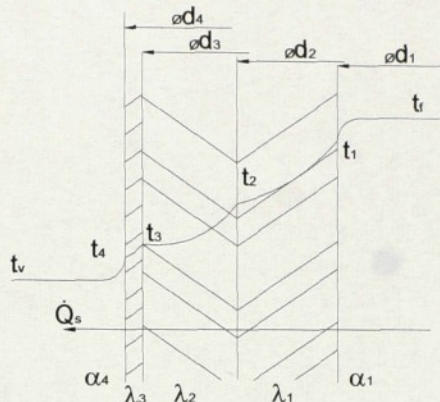
$Q_f$  – tepelná ztráta dnem tavící komory :

Teplota barvitka vně tavící komory je stejná jako teplota v barvici části feedru, můžeme tedy říci, že tepelná ztráta bude nulová.

$$Q_f = 0$$

$Q_s$  – tepelná ztráta boční stěnou zařízení (obr. 3.15) :

$$\begin{aligned} t_f &= 1650 \text{ } ^\circ\text{C} \\ t_1 &= 1540 \text{ } ^\circ\text{C} \\ t_v &= 35 \text{ } ^\circ\text{C} \\ \alpha_1 &= 100 \text{ W.m}^{-2}\text{K}^{-1} [9] \\ \lambda_1 &= 0,11 \text{ W.m}^{-1}\text{K}^{-1} [9] \\ \lambda_2 &= 0,06 \text{ W.m}^{-1}\text{K}^{-1} [10] \\ \lambda_3 &= 45 \text{ W.m}^{-1}\text{K}^{-1} [5] \\ d_1 &= 165 \text{ mm} = 0,165 \text{ m} \\ d_2 &= 400 \text{ mm} = 0,4 \text{ m} \\ d_3 &= 600 \text{ mm} = 0,6 \text{ m} \\ d_4 &= 614 \text{ mm} = 0,614 \text{ m} \end{aligned}$$



Obr. 3.15 Prostup boční stěnou zařízení

teplotu  $t_4$  neznáme, ale stanovíme ji z rovnosti tepelných toků

$$\frac{2 \cdot \pi \cdot l \cdot (t_1 - t_{n+1})}{\sum_{i=1}^n \frac{1}{\lambda_i} \cdot \ln \frac{d_{i+1}}{d_n}} = \pi \cdot d_4 \cdot l \cdot \alpha_4 \cdot (t_4 - t_v)$$

$$\frac{\frac{2 \cdot 3,14 \cdot 0,2 \cdot (1540 - t_4)}{1 \cdot \ln \frac{0,4}{0,16} + \frac{1}{0,06} \cdot \ln \frac{0,6}{0,4} + \frac{1}{45} \cdot \ln \frac{0,614}{0,6}}}{3,14 \cdot 0,614 \cdot 0,2 \cdot \alpha_4 \cdot (t_4 - 35)} = 3,14 \cdot 0,614 \cdot 0,2 \cdot \alpha_4 \cdot (t_4 - 35)$$

$$\frac{1,256 \cdot (1540 - t_4)}{15,08} = 0,385 \cdot \alpha_4 \cdot (t_4 - 35)$$

za  $\alpha_4$  dosadíme  $\alpha_{vz} = 2,1 + 0,083t_{st}$

$$0,254 \cdot (1540 - t_4) = (2,1 + 0,083t_4) \cdot (t_4 - 35)$$

$$391,2 - 0,254t_4 = 2,1t_4 - 73,5 + 0,083t_4^2 - 2,905t_4$$

$$0,082t_4^2 - 0,551t_4 - 464,7 = 0$$

odtud

$$t_4 = \frac{0,551 \pm \sqrt{0,551^2 - 4 \cdot 0,083 \cdot (-464,7)}}{2 \cdot 0,083} = 78 \text{ } ^\circ\text{C}$$

pro tuto teplotu stanovíme

$$\alpha_4 = 2,1 + 0,083t_4 = 2,1 + 6,47 = 8,6$$

teplná ztráta

$$\dot{Q}_s = \frac{\pi \cdot l \cdot (t_f - t_v)}{\frac{1}{\alpha_1 \cdot d_1} + \sum_{i=1}^{i=n} \frac{1}{2 \cdot \lambda_i} \cdot \ln \frac{d_{i+1}}{d_i} + \frac{1}{\alpha_4 \cdot d_4}}$$

$$\dot{Q}_s = \frac{3,14 \cdot 0,2 \cdot (1650 - 35)}{\frac{1}{100 \cdot 0,165} + \frac{1}{0,11} \cdot \ln \frac{0,4}{0,16} + \frac{1}{0,06} \cdot \ln \frac{0,6}{0,4} + \frac{1}{45} \cdot \ln \frac{0,614}{0,6} + \frac{1}{8,6 \cdot 0,614}}$$

$$\dot{Q}_s = 130 \text{ W}$$

Stanovení času za který se frita v barvítku úplně rozpustí :

$$s = 0,5 \text{ mm} = 0,0005 \text{ m}; \lambda_{ef} = 0,7 \text{ W.m}^{-1}\text{K}^{-1}; \alpha = 180 \text{ W.m}^{-2}\text{K}^{-1}; \rho = 2580 \text{ kg.m}^{-3}; \\ c_p = 1206 \text{ J.kg}^{-1}\text{.K}^{-1}; t_o = 35^\circ\text{C}; t_b = 1280^\circ\text{C}$$

teplotní vodivost barvítka

$$a = \frac{\lambda}{c_p \cdot \rho} = \frac{0,7}{1206 \cdot 2580} = 0,2 \cdot 10^{-6} \text{ m}^2 \cdot \text{s}^{-1}$$

Biotovo kriterium

$$B_i = \frac{\alpha \cdot s}{\lambda} = \frac{180 \cdot 0,0005}{0,7} = 0,128$$

Fourierovo kriterium pro zvolené časové úseky

$$\tau = 1 \text{ s}$$

$$F_{o,1} = \frac{a \cdot \tau}{s^2} = \frac{0,2 \cdot 10^{-6} \cdot 1}{0,0005^2} = 0,8$$

pro dané  $B_i$  a  $F_o$  vyčteme z grafu v [2] příslušné hodnoty  $\vartheta$  pro střed stěny a dosadíme

$$t_\tau = t_b + \vartheta_s \cdot (t_o - t_b)$$

$$t_1 = t_b + \vartheta_s \cdot (t_o - t_b) = 1280 + 0,95 \cdot (35 - 1280) = 97^\circ\text{C}$$

$\tau = 10 \text{ s}$

$$F_{o,10} = \frac{a \cdot \tau}{s^2} = \frac{0,2 \cdot 10^{-6} \cdot 10}{0,0005^2} = 8$$

$$t_{10} = t_b + g_s \cdot (t_o - t_b) = 1280 + 0,39 \cdot (35 - 1280) = 794^\circ C$$

$\tau = 20 \text{ s}$

$$F_{o,20} = \frac{a \cdot \tau}{s^2} = \frac{0,2 \cdot 10^{-6} \cdot 20}{0,0005^2} = 16$$

$$t_{20} = t_b + g_s \cdot (t_o - t_b) = 1280 + 0,18 \cdot (35 - 1280) = 1056^\circ C$$

$\tau = 37 \text{ s}$

$$F_{o,37} = \frac{a \cdot \tau}{s^2} = \frac{0,2 \cdot 10^{-6} \cdot 20}{0,0005^2} = 30$$

$$t_{37} = t_b + g_s \cdot (t_o - t_b) = 1280 + 0,01 \cdot (35 - 1280) = 1268^\circ C$$

K úplnému roztavení frity v utaveném barvítku dojde během 40 s. V tomto časovém intervalu poklesne hladina o 3 mm.

Potřebný tepelný výkon :

$$\dot{Q}_t = \dot{Q} + \dot{Q}_v + \dot{Q}_f = 1256 + 3,7 + 0 = 1260 W$$

$$\dot{Q}_p = \dot{Q}_t + \dot{Q}_s = 1260 + 130 = 1390 W$$

Z přiloženého prospektu (příl.1) je zřejmé, že topné moduly SUPERTHAL SHC HT jsou schopné pokrýt potřebný příkon a zajistit potřebnou teplotu výhřevu. V našem případě bude topný modul vyroben na objednávku a spolu s ním budou dodány potřebné podklady pro stanovení napájecích hodnot.

#### 4. TECHNICKOEKONOMICKÉ ZHODNOCENÍ

Cílem této kapitoly je provést stručné shrnutí technických parametrů navrženého dávkovacího zařízení a určit jeho ekonomický přínos z hlediska návratnosti vynaložených prostředků na jeho realizaci.

*Provozně technické zhodnocení :*

V navrženém dávkovacím zařízení dochází k předtavení barvíci frity, což vede z technologického hlediska k zlepšení procesu barvení a umožní zkrácení konstrukční délky feedru. Zařízení je současně prostorově nenáročné a kompaktní, proto může být využito na dalších feedrech v Crystalex a.s.

*Ekonomické zhodnocení :*

Použití dávkovacího zařízení povede k :

- zlepšení kvality finálního produktu
- snížení zmetkovitosti
- snížení provozních nákladů na otop feedru

Náklady na výrobu dávkovacího zařízení jsou uvedeny v tab. 4.1. Ceny byly konzultovány se zaměstnanci Crystalex a.s.

Tab. 4.1 Ceny jednotlivých částí dávkovacího zařízení

tavící komora (včetně modelu)	75 000 Kč
horní deska	7 500 Kč
hradicí kámen	15 000 Kč
poplatinování hradicího kamene	300 000 Kč
U-profily,plechy,tyče	2 000 Kč
platinová tryska	40 000 Kč
celkem	439 500 Kč

Jelikož dojde ke snížení zmetkovitosti a nákladů na otop feedru, můžeme počítat s rychlou návratností.

## ZÁVĚR

V diplomové práci byl řešen problém dávkování barvítek do čiré skloviny. Celé pojetí návrhu vychází ze snahy nahradit současný, nevyhovující způsob dávkování barvítek. V průběhu vypracování se vyskytlo několik variant, které byly popsány a ze kterých byl po posouzení vybrán nejhodnější a nejpřijatelnější způsob řešení.

Pro řešení bylo z části využito současného zařízení, včetně zásobníku barvítka, váhy, vibračního dopravníku a vzduchem chlazené násypky. Rozměry tavicí komory byly stanoveny tak, aby vnější plocha byla dostatečně velká pro potřebný prostup tepelného toku. Také byla snaha zařízení co nejlépe izolovat.